

# Резонансное прохождение электромагнитного импульса сквозь квантовую яму

© Л.И. Коровин, И.Г. Ланг, С.Т. Павлов\*,\*\*

Физико-технический институт им. А.Ф. Иоффе Российской академии наук,  
194021 Санкт-Петербург, Россия

\* Facultad de Fisica de la UAZ, Apartado Postal C-580,  
98060 Zacatecas, Mexico

\*\* Физический институт им. П.Н. Лебедева Российской академии наук,  
119991 Москва, Россия

E-mail: Korovin@mail.ioffe.ru

(Поступила в Редакцию 7 июня 2007 г.)

Вычислены отражение, прохождение и поглощение симметричного электромагнитного импульса, несущая частота которого близка к частоте прямых межзонных переходов в квантовой яме. Уровни энергии в квантовой яме считаются дискретными, учитываются два близкорасположенных возбужденных уровня. Теория справедлива для ям произвольной ширины, при которой сохраняется размерное квантование. Учитывается различие в показателях преломления квантовой ямы и барьеров. В этом случае появляется дополнительное отражение от границ квантовой ямы, что приводит к существенному изменению формы отраженного импульса по сравнению с однородной средой. Отражение от границ исчезает при определенных соотношениях между несущей частотой возбуждающего импульса и шириной квантовой ямы.

PACS: 78.47.+p, 78.66.-w

## 1. Введение

В наших предыдущих работах [1–4] были вычислены оптические характеристики (пропускание, отражение и поглощение) квантовой ямы при прохождении сквозь нее симметричного электромагнитного импульса. В [4] рассматривалась узкая яма с одним возбужденным уровнем и однородная среда, когда показатели преломления барьеров ( $v_1$ ) и квантовой ямы ( $v$ ) равны между собой. В [2] предполагалось, что в узкой квантовой яме имеются два близкорасположенных возбужденных уровня при условии  $v = v_1$ , в [4] при условии  $v = v_1$  квантовая яма считалась широкой, когда ширина ямы сравнима с длиной волны, соответствующей несущей частоте импульса. В работе [3] рассматривалась широкая квантовая яма с одним возбужденным уровнем и учитывалось влияние неоднородности среды (когда  $v \neq v_1$ ). Было показано, что для широкой квантовой ямы неоднородность среды заметно влияет на форму прошедшего яму и отраженного от нее импульсов, причем наибольшие изменения имеют место в отраженном импульсе. В настоящей работе теоретически исследуется временная и пространственная зависимости отраженного и прошедшего широко квантовую яму симметричного электромагнитного импульса при наличии в ней узкого дублета возбужденных уровней и при условии  $v \neq v_1$ . Этот вопрос представляет интерес, так как по степени искажения прошедшего и отраженного импульсов можно судить о релаксационных процессах в системе, а в случае двух возбужденных уровней — и о соотношении их времен жизни. В однородной среде отраженный импульс обусловлен только резонансом с дискретными уровнями в квантовой яме, если же  $v \neq v_1$ ,

то появляется дополнительное отражение от границ квантовой ямы, причем эти вклады интерферируют между собой, что приводит к нетривиальной зависимости оптических характеристик от ширины ямы.

Предполагается, что при низких температурах, слабом легировании и совершенных границах квантовой ямы вклад радиационного механизма может быть сравним со вкладом нерadiационных механизмов и, следовательно, нельзя ограничиться линейным по взаимодействию электрона с электромагнитным полем импульса приближением, а необходимо учитывать все порядки этого взаимодействия [5–11]. Оценки показывают [12], что в квантовой яме возможно сохранение размерно квантованных уровней при  $kd \geq 1$  ( $d$  — ширина квантовой ямы,  $k$  — модуль волнового вектора электромагнитной волны, соответствующей несущей частоте импульса). В этом случае необходимо учесть пространственную дисперсию волн, составляющих импульс [12,13].

Рассматривается система, состоящая из полупроводниковой квантовой ямы типа I, расположенной в интервале  $0 \leq z \leq d$ , и двух полубесконечных барьеров. Система находится в постоянном магнитном поле, направленном перпендикулярно плоскости квантовой ямы (плоскости  $xu$ ), которое обеспечивает дискретность уровней. Возбуждающий световой импульс распространяется вдоль оси  $z$  со стороны отрицательных  $z$ . Барьеры прозрачны для импульса, а в квантовой яме импульс вызывает прямые межзонные переходы на уровни дублета. Подразумевается собственный полупроводник и низкие температуры. Предполагается, что в квантовой яме имеется узкий дублет возбужденных уровней. Влиянием других уровней на оптические характеристики можно пренебречь, если несущая частота возбуждающего им-

пульса близка к частотам уровней дублета, остальные уровни расположены достаточно далеко от них. Предполагается также, что дублет расположен близко к минимуму зоны проводимости и уровни энергии можно рассматривать в приближении эффективной массы. Узким дублетом может быть, в частности, магнетополярированное состояние [14].

## 2. Фурье-образы электрического поля прошедшего и отраженного импульсов

Предполагается, что на квантовую яму падает нормально к плоскости  $xу$  со стороны отрицательных  $z$  симметричный возбуждающий импульс круговой поляризации, электрическое поле которого имеет вид

$$\mathbf{E}_0(z, t) = \mathbf{e}_l E_0(z, t) + \text{с.с.}, \quad (1)$$

$$E_0(z, t) = E_0 e^{-i\omega_l t} \{ \Theta(p) e^{-\gamma_l p/2} + [1 - \Theta(p)] e^{\gamma_l p/2} \}.$$

Здесь  $E_0$  — вещественная амплитуда,  $p = t - v_1 z/c$ ,  $\mathbf{e}_l = (\mathbf{e}_x \pm i\mathbf{e}_y)/\sqrt{2}$  — единичные векторы круговой поляризации,  $\mathbf{e}_x$  и  $\mathbf{e}_y$  — вещественные орты,  $\Theta(p)$  — функция Хевисайда,  $\omega_l$  — несущая частота импульса,  $\gamma_l^{-1}$  определяет его ширину,  $c$  — скорость света в вакууме,  $v_1$  — показатель преломления барьеров. Фурье-образ функции (1) имеет вид

$$\begin{aligned} \mathbf{E}_0(z, \omega) &= \exp(ik_1 z) [\mathbf{e}_l E_0(\omega) + \mathbf{e}_l^* E_0(-\omega)], \\ E_0(\omega) &= \frac{E_0 \gamma_l}{(\omega - \omega_l)^2 + (\gamma_l/2)^2}, \quad k_1 = \frac{v_1 \omega}{c}. \end{aligned} \quad (2)$$

Электрическое поле в области  $z \leq 0$  состоит из суммы полей возбуждающего и отраженного импульсов. Его Фурье-образ удобно представить в виде

$$\mathbf{E}^l(z, \omega) = \mathbf{E}_0(z, \omega) + \Delta \mathbf{E}^l(z, \omega).$$

Здесь  $\Delta \mathbf{E}^l(z, \omega)$  — электрическое поле отраженного импульса, оно имеет вид

$$\Delta \mathbf{E}^l(z, \omega) = \mathbf{e}_l \Delta E^l(z, \omega) + \mathbf{e}_l^* \Delta E^l(z, -\omega). \quad (3)$$

В области  $z \geq d$  распространяется только прошедший квантовую яму импульс, для которого

$$\mathbf{E}^r(z, \omega) = \mathbf{e}_l E^r(z, \omega) + \mathbf{e}_l^* E^r(z, -\omega) \quad (4)$$

— Фурье-образ его поля.

Функции  $\Delta E^l(z, \omega)$  и  $E^r(z, \omega)$  можно рассматривать как скалярные амплитуды монохроматических волн, которые возникают в результате прохождения возбуждающей монохроматической волны сквозь квантовую яму. Случай, когда взаимодействие электромагнитной волны с электронной системой нельзя рассматривать как малое возмущение, а также когда  $kd \neq 0$  и  $v \neq v_1$  и в квантовой

яме имеются два близкорасположенных возбужденных уровня, рассматривался в [15]. Было показано, что

$$\Delta E^l(z, \omega) = C_{\mathcal{R}} \exp(-ik_1 z), \quad z \leq 0, \quad (5)$$

$$E^r(z, \omega) = C_{\mathcal{T}} \exp(ik_1 z), \quad z \geq d, \quad (6)$$

$C_{\mathcal{R}}$  и  $C_{\mathcal{T}}$  определяют амплитуды отраженной и прошедшей волны соответственно. Для них получены выражения

$$C_{\mathcal{R}} = E_0 \rho / \Delta, \quad C_{\mathcal{T}} = 4E_0 \xi e^{-ik_1 d} [1 + (-1)^{m_c + m_v} e^{-ikd} N] / \Delta, \quad (7)$$

$$\Delta = L - 2(\xi - 1)[(\xi + 1)e^{-ikd} + (-1)^{m_c + m_v} (\xi - 1)] N, \quad (8)$$

$$\begin{aligned} \rho &= 2i(\xi^2 - 1) \sin(kd) + 2[(\xi^2 + 1)e^{-ikd} \\ &+ (-1)^{m_c + m_v} (\xi^2 - 1)] N. \end{aligned} \quad (9)$$

В формулах (7)–(9) введены обозначения

$$\xi = k/k_1 = v/v_1, \quad k = v\omega/c,$$

$$L = (\xi + 1)^2 e^{-ikd} - (\xi - 1)^2 e^{ikd}, \quad (10)$$

$m_c(m_v)$  — числа размерного квантования электрона (дырки). Предполагалось, что двум прямым межзонным переходам соответствует одна пара чисел  $m_c, m_v$ .

Зависимость от переменной  $\omega$  определяется функцией  $N$ , которая имеет вид

$$N = \frac{-i(-1)^{m_c + m_v} \exp(ikd)(\varepsilon'/2)\Omega_0}{\tilde{\omega}_1 \tilde{\omega}_2 + i(\varepsilon/2)\Omega_0}. \quad (11)$$

В (11) введены обозначения

$$\Omega_0 = \gamma_{r1} \tilde{\omega}_2 + \gamma_{r2} \tilde{\omega}_1,$$

$$\tilde{\omega}_j = \omega - \omega_j + i\gamma_j/2, \quad \tilde{\gamma}_{rj} = \varepsilon' \gamma_{rj}, \quad j = 1, 2. \quad (12)$$

Здесь  $\omega_j$  — частоты межзонных переходов на уровни дублета,  $\gamma_j$  и  $\gamma_{rj} \sim e^2/(\hbar c v)$  — нерadiационное и радиационное уширения уровней дублета [14].

В функцию  $N$  входит также комплексная величина  $\varepsilon = \varepsilon' + i\varepsilon''$ , которая имеет вид [3,13,15]

$$\varepsilon = \int_0^d dz \Phi(z) \left\{ \int_0^z dy e^{ik(z-y)} \Phi(y) + \int_z^d dy e^{ik(y-z)} \Phi(y) \right\}. \quad (13)$$

Она определяет влияние пространственной дисперсии на радиационное уширение  $\varepsilon' \gamma_{rj}$  и сдвиг  $\varepsilon'' \gamma_{rj}$  уровней дублета.

При выводе формулы (13) предполагалось, что сила Лоренца, определяемая внешним магнитным полем, велика по сравнению с кулоновской и обменной силами в электронно-дырочной паре и зависимость волновой функции пары от координаты  $z$  может быть представлена в виде множителя  $\Phi(z)$  [15].

### 3. Зависимость от времени электрического поля отраженного и прошедшего импульсов

Временная зависимость скалярных амплитуд  $\Delta E^l(z, \omega)$  и  $E^r(z, \omega)$  определяется известными формулами

$$\begin{aligned} \Delta E^l(z, t) &\equiv \Delta E^l(s) \\ &= \frac{1}{2\pi} \int_{-\infty}^{+\infty} d\omega e^{-i\omega s} \Delta E^l(z, \omega), \quad s = t + v_1 z/c, \end{aligned} \quad (14)$$

$$\begin{aligned} E^r(z, t) &\equiv E^r(p) \\ &= \frac{1}{2\pi} \int_{-\infty}^{+\infty} d\omega e^{-i\omega p} E^r(z, \omega), \quad p = t - v_1 z/c. \end{aligned} \quad (15)$$

Из выражений (7) и (8) видно, что у амплитуд  $\Delta E^l(z, \omega)$  и  $E^r(z, \omega)$  одинаковые знаменатели и соответственно одинаковые полюсы комплексной плоскости  $\omega$ . Используя формулы (2), (7)–(9) и (11), получим следующие выражения для электрических полей в интегральной форме:

$$\begin{aligned} E^r(p) &= \frac{2\xi E_0 \gamma_l \exp(-ik_1 d)}{\pi L} \\ &\times \int_{-\infty}^{+\infty} d\omega \frac{\exp(-i\omega p) U(\omega)}{[(\omega - \omega_l)^2 + (\gamma_l/2)^2](\omega - \Omega_1)(\omega - \Omega_2)}, \end{aligned} \quad (16)$$

$$\begin{aligned} \Delta E^l(s) &= \frac{E_0 \gamma_l}{2\pi L} \\ &\times \int_{-\infty}^{+\infty} d\omega \frac{\exp(-i\omega s) V(\omega)}{[(\omega - \omega_l)^2 + (\gamma_l/2)^2](\omega - \Omega_1)(\omega - \Omega_2)}, \end{aligned} \quad (17)$$

где

$$U(\omega) = \tilde{\omega}_1 \tilde{\omega}_2 - \varepsilon'' \Omega_0/2, \quad (18)$$

$$V(\omega) = a \tilde{\omega}_1 \tilde{\omega}_2 + A \Omega_0/2. \quad (19)$$

В (19) введены обозначения

$$a = 2i(\xi^2 - 1) \sin(kd), \quad (20)$$

$$A = ia\varepsilon - 2i(-1)^{m_c+m_v} [\xi^2 + 1 + (-1)^{m_c+m_v} (\xi^2 - 1)] \varepsilon'. \quad (21)$$

Знаменатели в подынтегральных функциях (16) и (17) имеют четыре одинаковых полюса в комплексной плоскости  $\omega$ , а именно  $\omega = \omega_l \pm i\gamma_l/2$ ,  $\omega = \Omega_1$ ,  $\omega = \Omega_2$ . Полюс в верхней полуплоскости  $\omega = \omega_l + i\gamma_l/2$  определяет временную зависимость при  $p(s) \leq 0$ , остальные три

полюса — при  $p(s) \geq 0$ . Полюсы  $\Omega_1$  и  $\Omega_2$  имеют вид

$$\begin{aligned} \Omega_{1(2)} &= \left\{ \omega_1 + \omega_2 - (i/2)[\gamma_1 + \gamma_2 + f(\gamma_{r1} + \gamma_{r2})] \right. \\ &\quad \left. \pm \sqrt{\{\omega_1 - \omega_2 - (i/2)[\gamma_1 - \gamma_2 + f(\gamma_{r1} - \gamma_{r2})]\}^2 - f^2 \gamma_{r1} \gamma_{r2}} \right\} / 2. \end{aligned} \quad (22)$$

Комплексный коэффициент  $f = f_2 + if_1$  входит в  $\Omega_1$  и  $\Omega_2$  в виде комбинаций  $f\gamma_{r1}$  и  $f\gamma_{r2}$ ,

$$f_1 = \varepsilon'' - \frac{(-1)^{m_c+m_v} \varepsilon' (1 - \xi^2) \sin kd}{1 + \xi^2 + (-1)^{m_c+m_v} (1 - \xi^2) \cos kd}, \quad (23)$$

$$f_2 = \varepsilon'' - \frac{2\varepsilon' \xi}{1 + \xi^2 + (-1)^{m_c+m_v} (1 - \xi^2) \cos kd}. \quad (24)$$

При интегрировании (14) и (15) учитывались только упомянутые выше четыре полюса, которые определяют резонансные вклады. В подынтегральных выражениях имеется ряд связанных с нулями функций  $L$  полюсов, расположенных в нижней полуплоскости  $\omega$ . Однако эти полюсы расположены далеко от вещественной оси и их вклад в электрические поля мал по сравнению со вкладом резонансных членов.

Временная зависимость электрических полей представляется в виде

$$\begin{aligned} E^r(p) &= (4\xi E_0/L) \exp(-ik_1 d) \{ [1 - \Theta(p)] J_1 \\ &\quad + (J_2 + J_3 + J_4) \Theta(p) \}, \end{aligned}$$

$$\begin{aligned} \Delta E^l(s) &= (E_0/L) \{ [1 - \Theta(s)] K_1 \\ &\quad + (K_2 + K_3 + K_4) \Theta(s) \}, \end{aligned} \quad (25)$$

где

$$J_{1(2)} = \frac{\exp[-i(\omega_l \pm i\gamma_l/2)p] U(\omega_l \pm i\gamma_l/2)}{(\omega_l - \Omega_1 \pm i\gamma_l/2)(\omega_l - \Omega_2 \pm i\gamma_l/2)}, \quad (26)$$

$$J_{3(4)} = \mp \frac{i\gamma_l \exp[-i\Omega_{1(2)}p] U(\Omega_{1(2)})}{(\Omega_1 - \Omega_2)[(\omega_l - \Omega_{1(2)})^2 + (\gamma_l/2)^2]}, \quad (27)$$

$$K_{1(2)} = \frac{\exp[-i(\omega_l \pm i\gamma_l/2)s] V(\omega_l \pm i\gamma_l/2)}{(\omega_l - \Omega_1 \pm i\gamma_l/2)(\omega_l - \Omega_2 \pm i\gamma_l/2)}, \quad (28)$$

$$K_{3(4)} = \mp \frac{i\gamma_l \exp[-i\Omega_{1(2)}s] V(\Omega_{1(2)})}{(\Omega_1 - \Omega_2)[(\omega_l - \Omega_{1(2)})^2 + (\gamma_l/2)^2]}. \quad (29)$$

Функции  $U(\omega)$  и  $V(\omega)$  после постановки  $\tilde{\omega}_1$ ,  $\tilde{\omega}_2$  и  $\Omega_0$  принимают вид

$$\begin{aligned} U(\omega) &= (\omega - \omega_1 + i\gamma_1/2)(\omega - \omega_2 + i\gamma_2/2) \\ &\quad - (\varepsilon''/2)[\gamma_{r1}(\omega - \omega_2 + i\gamma_2/2) \\ &\quad + \gamma_{r2}(\omega - \omega_1 + i\gamma_1/2)], \end{aligned} \quad (30)$$

$$\begin{aligned} V(\omega) &= a(\omega - \omega_1 + i\gamma_1/2)(\omega - \omega_2 + i\gamma_2/2) \\ &\quad + (A/2)[\gamma_{r1}(\omega - \omega_2 + i\gamma_2/2) \\ &\quad + \gamma_{r2}(\omega - \omega_1 + i\gamma_1/2)]. \end{aligned} \quad (31)$$

При выводе формул (22) для  $\Omega_1$  и  $\Omega_2$  предполагалось, что  $\omega_l$  близка к резонансным частотам  $\omega_1$  и  $\omega_2$ . Поэтому в дальнейшем параметры  $k$  и  $k_1$  равны  $k = v\omega_l/c$ ,  $k = v_1\omega_l/c$ . Аналогичное приближение было использовано в [3].

#### 4. Предельные случаи

Из формул (25) и (31) следует, что  $\Delta E^l(s)$  можно представить в виде суммы двух слагаемых, которые пропорциональны соответственно  $a$  и  $A$ . Коэффициент  $a$  обращается в нуль в двух предельных случаях: если  $\xi = 1$  (приближение однородной среды), либо  $kd = 0$  (узкая яма). Второе слагаемое равно нулю, если  $\gamma_{r1} = \gamma_{r2} = 0$ . Отсюда можно сделать вывод, что первое слагаемое обусловлено отражением от границ квантовой ямы, а второе — резонансом с уровнями в самой яме.

Из (13), (23) и (24) видно, что в случае  $kd = 0$   $\varepsilon'' = f_1 = 0$ ,  $\varepsilon' = 1$ ,  $f_2 = \xi$  (если  $m_c + m_v$  — четное число) и  $f_2 = 1/\xi$  ( $m_c + m_v$  — нечетное). Таким образом, в этом случае  $\gamma_{r1}$  и  $\gamma_{r21}$  перенормируются множителем  $\xi$  (или  $\xi^{-1}$ ), а в остальных формулы для полей совпадают с полученными в [2]. Если  $\xi = 1$ ,  $kd \neq 0$ , то формулы (16) и (17) переходят в полученные в [4].

Далее расчет проводится для случая

$$\gamma_{r1} = \gamma_{r2} = \gamma_r, \quad \gamma_1 = \gamma_2 = \gamma.$$

Такое равенство возможно, например, если дублет образован магнетополяроном, когда циклотронная частота равна частоте продольного оптического фона [14]. В этом предельном случае  $\Omega_{1(2)}$  из (22) равны

$$\Omega_{01(2)} = \left[ \omega_1 + \omega_2 - i(\gamma + f\gamma_r) \pm \sqrt{(\omega_1 - \omega_2)^2 - f^2\gamma_r^2} \right] / 2. \quad (32)$$

Для однородной среды ( $\xi = 1$ ) из (23) и (24) следует, что  $f = \varepsilon$  и  $\Omega_{01(2)}$  совпадает с аналогичными формулами, полученными в [4]. Таким образом, переход к неоднородной среде приводит к замене в резонансных знаменателях в формулах (26)–(29) функции  $\varepsilon$  на коэффициент  $f$ , который теперь влияет на сдвиг ( $f_1$ ) и на радиационное уширение ( $f_2$ ) уровней дублета. Аналогичная ситуация, как это видно из (22), имеет место и в общем случае  $\gamma_{r1} \neq \gamma_{r2}$ ,  $\gamma_1 \neq \gamma_2$ .

Для численных расчетов удобно перейти к новым переменным, а именно

$$\begin{aligned} \Omega &= \omega_l - \omega_1, \quad \Delta\omega = \omega_1 - \omega_2, \\ \beta_{01} &= \Omega_{01} - \omega_1, \quad \beta_{02} = \Omega_{02} - \omega_1 \end{aligned} \quad (33)$$

(в этих переменных число независимых параметров в выражениях для оптических характеристик уменьшается

на единицу), а также ввести резонансную частоту

$$\begin{aligned} \Omega_{\text{res}} &\equiv \text{Re}\beta_{01} \\ &= \left[ -\Delta\omega + f_1\gamma_r + \text{Re} \sqrt{\Delta\omega^2 - f^2\gamma_r^2} \right] / 2, \end{aligned} \quad (34)$$

соответствующую межзонному резонансному переходу с частотой  $\omega_1$ , перенормированной радиационными сдвигом.

В рассматриваемом предельном случае электрические поля принимают вид

$$\begin{aligned} E^r(p) &= (4\xi E_0/L) e^{-i(k_1 d + \omega_1 p)} \\ &\times \{ [1 - \Theta(p)] J_{01} + (J_{02} + J_{03} + J_{04}) \Theta(p) \}, \end{aligned}$$

$$\begin{aligned} \Delta E^l(s) &= (4E_0/L) e^{-i\omega_1 s} \\ &\times \{ [1 - \Theta(s)] K_{01} + (K_{02} + K_{03} + K_{04}) \Theta(s) \}, \end{aligned} \quad (35)$$

$$J_{01(2)} = \frac{\exp(\pm\gamma_l p/2) U_0(\Omega \pm i\gamma_l/2)}{(\Omega - \beta_{01} \pm i\gamma_l/2)(\Omega - \beta_{02} \pm i\gamma_l/2)}, \quad (36)$$

$$J_{03(4)} = \mp \frac{i\gamma_l \exp[i(\Omega - \beta_{01(2)})p] U_0(\Omega_{01(2)})}{\sqrt{\Delta\omega^2 - f^2\gamma_r^2} [(\Omega - \beta_{01(2)})^2 + (\gamma_l/2)^2]}, \quad (37)$$

$$K_{01(2)} = \frac{\exp(\pm\gamma_l s/2) V_0(\Omega \pm i\gamma_l/2)}{(\Omega - \beta_{01} \pm i\gamma_l/2)(\Omega - \beta_{02} \pm i\gamma_l/2)}, \quad (38)$$

$$K_{03(4)} = \mp \frac{i\gamma_l \exp[i(\Omega - \beta_{01(2)})s] U_0(\Omega_{01(2)})}{\sqrt{\Delta\omega^2 - f^2\gamma_r^2} [(\Omega - \beta_{01(2)})^2 + (\gamma_l/2)^2]}. \quad (39)$$

Вместо (30) и (31) появляются функции

$$\begin{aligned} U_0(\omega) &= (\omega + i\gamma/2)(2\omega + \Delta\omega + i\gamma) \\ &- (\varepsilon''\gamma_r/2)(2\omega + \Delta\omega + i\gamma), \end{aligned} \quad (40)$$

$$\begin{aligned} V_0(\omega) &= a(\omega + i\gamma/2)(\omega + \Delta\omega + i\gamma/2) \\ &+ (A\gamma_r/2)(2\omega + \Delta\omega + i\gamma), \end{aligned} \quad (41)$$

в которых  $a$  и  $A$  определены в (20), (21).

Представляет также интерес случай, когда  $\gamma_{r1} = \gamma_{r2} = 0$ , т.е. взаимодействие электромагнитных волн с электронной системой отсутствует. Это может иметь место для частот, далеких от резонансных — тогда поглощение мало и им можно пренебречь. В этом случае из общих формул (25)–(31) следует, что

$$E^r(p) = (4\xi/L) E_0(z, t), \quad \Delta E^l(s) = (a/L) E_0(z, t), \quad (42)$$

где  $E_0(z, t)$  — скалярная амплитуда поля возбуждающего импульса, приведенная в (1). Таким образом, для прозрачной квантовой ямы электрические поля прошедшего и отраженного импульсов пропорциональны полю возбуждающего импульса, коэффициенты пропорциональности зависят от  $\xi$  и  $kd$ .

## 5. Отражение, пропускание и поглощение возбуждающего импульса

Поток энергии  $S(p)$ , соответствующий электрическому полю возбуждающего импульса, определяется как [13]

$$S(p) = (\mathbf{e}_z/4\pi)(cv_1)(\mathbf{E}_0(z, t))^2 = \mathbf{e}_z S_0 \mathcal{P}(p), \quad (43)$$

где  $S_0 = cv_1 E_0^2/(2\pi)$ ,  $\mathbf{e}_z$  — единичный вектор в направлении  $z$ . Безразмерная функция  $\mathcal{P}(p)$  определяет пространственную и временную зависимости потока энергии возбуждающего импульса,

$$\begin{aligned} \mathcal{P}(p) &= (\mathbf{E}_0(z, t))^2/S_0 \\ &= \Theta(p)e^{-\gamma p} + [1 - \Theta(p)]e^{\gamma p}. \end{aligned} \quad (44)$$

Проходящий (справа от ямы) и отраженный (слева от ямы) потоки определяются соответственно как

$$S_r(z, t) = (\mathbf{e}_z/4\pi)(cv_1)(\mathbf{E}^r(z, t))^2 = \mathbf{e}_z S_0 \mathcal{T}(p),$$

$$S_l(z, t) = -(\mathbf{e}_z/4\pi)(cv_1)(\Delta \mathbf{E}^l(z, t))^2 = -\mathbf{e}_z S_0 \mathcal{R}(s), \quad (45)$$

безразмерные функции  $\mathcal{T}(p)$  и  $\mathcal{R}(s)$  определяют доли прошедшей и отраженной энергии возбуждающего импульса. Доля энергии  $\mathcal{A}(t)$ , сконцентрированная внутри квантовой ямы, которая поглощается или вновь излучается, определяется очевидным равенством

$$\mathcal{A}(p) = \mathcal{P}(p) - \mathcal{R}(p) - \mathcal{T}(p) \quad (46)$$

(так как для отражения  $z \leq 0$ , в  $\mathcal{R}$  переменная  $s = t - |z|v/c$ ).

В предельном случае  $\gamma_{r1} = \gamma_{r2} = 0$ ,  $\mathcal{A} = 0$ ,  $\mathcal{T} = |4\xi/L|^2 \mathcal{P}(t)$ ,  $\mathcal{R} = |a/L|^2 \mathcal{P}(t)$ , где  $\mathcal{P}(t)$  соответствует возбуждающему импульсу. Учитывая (10), получаем, что

$$\begin{aligned} \mathcal{R}(t) &= \frac{(\xi^2 - 1)^2 \sin^2(kd)}{4\xi^2 \cos^2(kd) + (\xi^2 + 1)^2 \sin^2(kd)} \mathcal{P}(t), \\ \mathcal{T}(t) &= \frac{4\xi^2}{4\xi^2 \cos^2(kd) + (\xi^2 + 1)^2 \sin^2(kd)} \mathcal{P}(t). \end{aligned} \quad (47)$$

Таким образом, в этом предельном случае  $\mathcal{R}$  есть отражение от прозрачной пластинки и равно нулю при  $kd = 0, \pi, 2\pi, \dots$

Для вычислений необходимо конкретизировать функцию  $\Phi(z)$ , которая входит только в определение  $\varepsilon$  (13).  $\Phi(z)$  было выбрано в виде  $\Phi(z) = (2/d) \sin(\pi m_c z/d) \sin(\pi m_v z/d)$  для  $0 \leq z \leq d$  и  $\Phi(z) = 0$  в барьерах, что соответствует свободной электронно-дырочной паре. В случае выбранной выше

$\Phi(z)$   $\varepsilon'$  и  $\varepsilon''$ , согласно (13), равны

$$\varepsilon' = 2\mathcal{B}^2 [1 - (-1)^{m_c+m_v} \cos(kd)],$$

$$\begin{aligned} \varepsilon'' &= 2\mathcal{B} \left( \frac{(1 + \delta_{m_c+m_v})(m_c + m_v)^2 + (m_c - m_v)^2}{8m_c m_v} \right. \\ &\quad \left. - (-1)^{m_c+m_v} \mathcal{B} \sin kd - \frac{(2 + \delta_{m_c+m_v})(kd)^2}{8\pi^2 m_c m_v} \right), \end{aligned}$$

$$\mathcal{B} = \frac{4\pi^2 m_c m_v kd}{[\pi^2 (m_c + m_v)^2 - (kd)^2][(kd)^2 - \pi^2 (m_c - m_v)^2]}. \quad (48)$$

## 6. Результаты расчета и их обсуждение

Приведенные в (22) полюсы  $\Omega_1$  и  $\Omega_2$  определяют резонансные частоты  $\text{Re } \Omega_{1,2}$  и сдвиг  $\text{Im } \Omega_{1,2}$  уровней дублета. В предельном случае однородной среды и узкой квантовой ямы  $\Omega_{1,2}$  совпадают с полученными в [2] величинами  $(\Omega - iG/2)_{1(2)}$ . В электрические поля импульса обратные времена жизни уровней дублета  $\gamma_{ri}$  входят в виде  $\varepsilon' \gamma_{ri}$  и  $\varepsilon'' \gamma_{ri}$ . В случае монохроматического облучения и импульсного облучения в однородной среде  $\varepsilon' \gamma_{ri}$  и  $\varepsilon'' \gamma_{ri}$  определяют соответственно уширение и сдвиг уровней дублета [13,15,4]. В рассматриваемом выше общем случае импульсного облучения и неоднородной среды в  $\Omega_1$  и  $\Omega_2$  входят  $f_1 \gamma_{ri}$  и  $f_2 \gamma_{ri}$ , которые зависят от параметров  $kd$  и  $\xi$  и от  $\varepsilon' \gamma_{ri}$  и  $\varepsilon'' \gamma_{ri}$ . Таким образом, вид функций  $f_2$  и  $f_1$  влияет на радиационный сдвиг и уширение уровней.

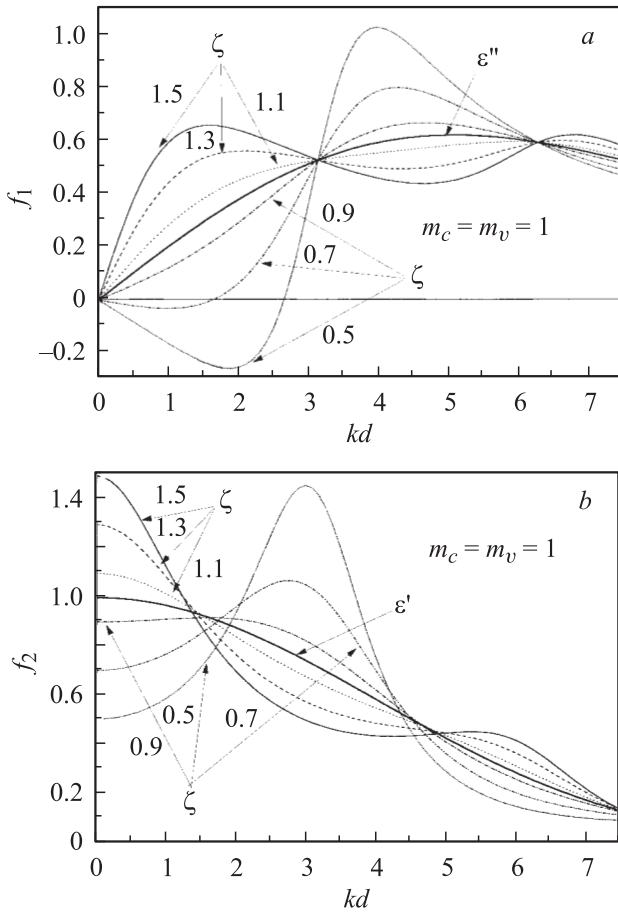
Если  $\xi = 1$ ,  $kd \neq 0$ , то  $f_1 = \varepsilon''$ ,  $f_2 = \varepsilon'$ . В случае  $kd = 0$  сдвиг уровней отсутствует, а уширение определяется величинами  $\xi \gamma_{ri}$ . Так как при  $kd \neq 0$   $\gamma_{ri} \sim v^{-1}$ , величина  $\xi \gamma_{ri} \sim v_1^{-1}$  является обратным временем жизни при нулевой ширине ямы [15].

На рис. 1, *a* представлена зависимость функции  $f_1$  из (23), которая связана со сдвигом уровней дублета, от  $kd$  для различных значений  $\xi$ . Из рисунка видно, что в точках  $kd = 0, \pi, 2\pi \dots$   $f_1 = \varepsilon''$ , т.е. влияние неоднородности среды на сдвиг уровней исчезает. Зависимость  $f_2$  (см. (24)) от  $kd$  показана на рис. 1, *b*. В точках  $kd = 0, \pi, 2\pi \dots$   $f_2$  имеет место наибольшее отклонение от  $\varepsilon'$ , так как в этих точках  $f_2 = \xi$ .

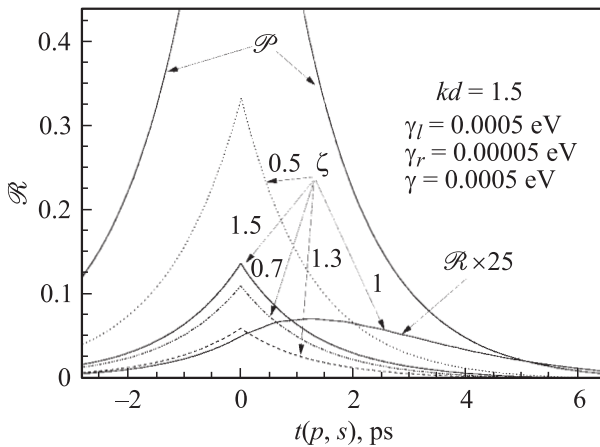
Функции  $\mathcal{R}$ ,  $\mathcal{A}$  и  $\mathcal{T}$  вычислялись для случая  $\gamma_{r1} = \gamma_{r2} = \gamma_r$ ,  $\gamma_1 = \gamma_2 = \gamma$  по формулам (35). Предполагался прямой разрешенный межзонный переход с квантовыми числами  $m_c = m_v = 1$ . На рисунках показано изменение во времени оптических характеристик квантовой ямы при прохождении светового импульса для разных значений параметров  $kd$  и  $\xi = v/v_1$ . Поскольку функции  $\mathcal{R}$  и  $\mathcal{T}$  являются однородными функциями обратных времен жизни и частот  $\omega_1, \omega_2, \omega_l$ , выбор единиц измерения здесь произволен. Для определенности все выражено в eV. Все графики  $\mathcal{R}$ ,  $\mathcal{T}$  и  $\mathcal{A}$  получены

для случая  $\Omega = \Omega_{\text{res}}$ , где  $\Omega$  и  $\Omega_{\text{res}}$  определены формулами (33), (34).

На рис. 2 приведен коэффициент отражения  $\mathcal{R}$  для узкого по сравнению с  $\Delta\omega$  возбуждающего импульса и малого



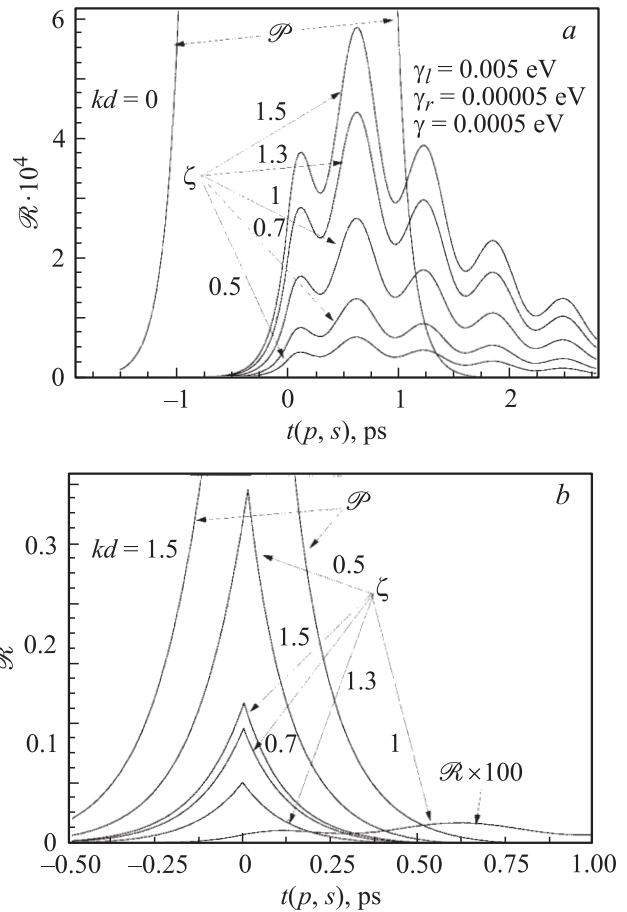
**Рис. 1.** Зависимость  $f_1$  (a) и  $f_2$  (b) от параметра  $kd$  (см. (23) и (24) соответственно) при различных значениях  $\xi = v/v_1$ .



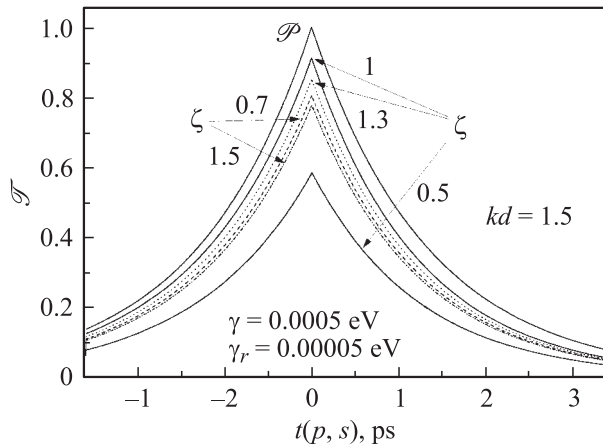
**Рис. 2.** Временная зависимость коэффициента отражения  $\mathcal{R}$  для узкого по сравнению с  $\Delta\omega$  возбуждающего импульса ( $\Delta\omega = 0.0065$  eV) и малого радиационного уширения  $\gamma_r \ll \gamma, \gamma_l$ .

го радиационного уширения ( $\gamma_r \ll \gamma, \gamma_l$ ). Все кривые соответствуют значению  $kd = 1.5$ . В этом случае, как это следует из рис. 1, радиационное уширение близко к  $\varepsilon'\gamma_r$  и слабо зависит от  $\xi$ . С другой стороны, радиационный сдвиг уровней  $f_1 = \varepsilon'' - (1 - \xi^2)/(1 + \xi^2)$  существенно зависит от параметра  $\xi$ . Из рисунка видно, что отражение радикально меняется при переходе от однородной среды ( $\xi = 1$ ) к неоднородной ( $\xi \neq 1$ ). Например, при  $\xi = 1.3$  отражение в максимуме увеличивается в 25 раз по сравнению со случаем  $\xi = 1$ , при  $\xi = 0.7$  — в 50 раз. Резкое увеличение  $\mathcal{R}$  есть проявление отражения от границ квантовой ямы, которое равно нулю, если  $\xi = 1$ .

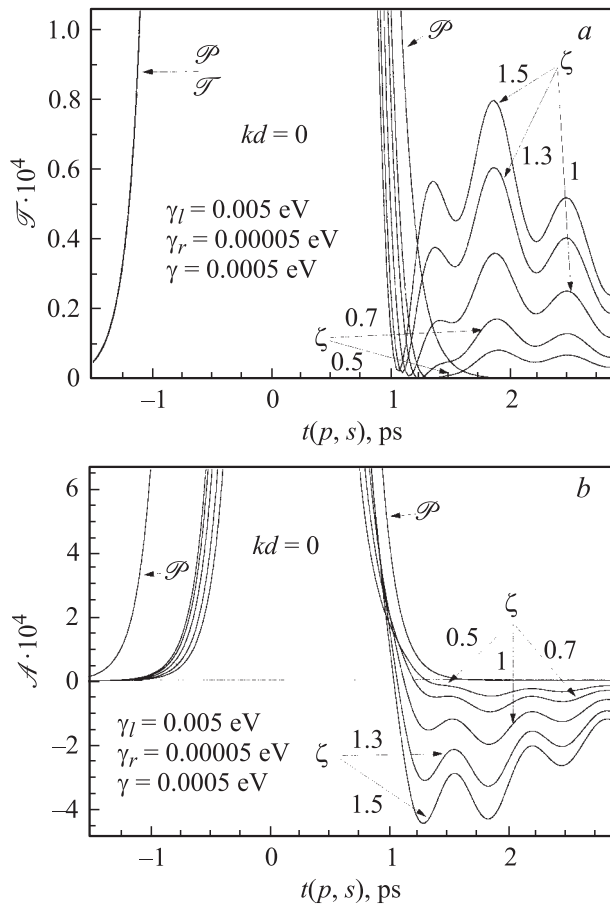
Аналогичная ситуация показана на рис. 3, который относится к возбуждающему импульсу средней продолжительности, когда  $\gamma_l \cong \Delta\omega$  и  $\gamma_r \ll \gamma \ll \gamma_l$ . На рис. 3, a ( $kd = 0$ ) отсутствует отражение от границ и зависимость отражения от  $\xi$  определяется только параметром  $\xi\gamma_r$ . На рис. 3, b ( $kd = 1.5$ ), где существенно отражение от границ, имеет место резкое усиление отражения по сравнению со случаем  $kd = 0$ : отношение



**Рис. 3.** Временная зависимость коэффициента отражения  $\mathcal{R}$  в случае возбуждающего импульса средней продолжительности ( $\Delta\omega = 0.0065$  eV,  $\gamma_l = 0.005$  eV). a — отражение от границ квантовой ямы отсутствует ( $kd = 0$ ), b — отражение от границ максимально ( $kd = 1.5$ ).



**Рис. 4.** Временная зависимость пропускания  $\mathcal{T}$  в случае наибольшего отражения от границ квантовой ямы ( $kd = 1.5$ ). Параметры совпадают с использованными для рис. 2.



**Рис. 5.** Временная зависимость пропускания  $\mathcal{T}$  (a) и поглощения  $\mathcal{A}$  (b) в случае узких квантовых ям ( $kd = 0$ ), когда отражение от границ ямы отсутствует.  $\Delta\omega = 0.0065$  eV.

$\mathcal{R}(\xi \neq 0)/\mathcal{R}(\xi = 0)$  в максимуме отражения увеличивается в 200 ( $\gamma = 1.3$ ) и в 1100 ( $\gamma = 0.5$ ) раз.

На рис. 4 и 5 показано влияние неоднородности среды на пропускание  $\mathcal{T}$  и на долю энергии, накопленной

квантовой ямой в результате резонансных переходов  $\mathcal{A}$ . На рис. 4 параметры  $\gamma_l, \gamma, \gamma_r$  такие же, как на рис. 2, а на рис. 5 они совпадают с параметрами рис. 3. На рис. 4 кривые  $\mathcal{T}(p)$  приведены для  $kd = 1.5$ , когда отражение от границ наибольшее. При  $kd = 0$  и  $\pi$  это отражение исчезает и изменение  $\xi$  мало влияет на  $\mathcal{T}(p)$ . На рис. 5 кривые  $\mathcal{T}$  и  $\mathcal{A}$  вычислены для  $kd = 0$ . В этом случае зависимость  $\mathcal{T}(p)$  и  $\mathcal{A}$  от  $\xi$  обусловлена только параметром  $\xi\gamma_r$ . Обращает на себя внимание появление генерации (отрицательного поглощения) после прохождения импульса (рис. 5, b). Генерация обусловлена тем, что электронная система не успевает полностью поглотить либо излучить энергию, накопленную в результате резонансных переходов, за время прохождения импульсов квантовой ямы.

Из приведенных выше результатов следует, что учет различия в показателях преломления квантовой ямы и барьеров заметнее всего сказывается на отражении. Наиболее сильно оно проявляется в том случае, когда отражение, обусловленное резонансными переходами в квантовой яме, является малой величиной. Отражение от границ квантовой ямы зависит от величины  $kd$  и обращается в нуль при  $kd = p\pi$ , где  $p$  — целое число. В этих точках система квантовая яма—барьеры ведет себя как однородная оптическая среда. Отличие от однородной среды заключается в замене радиационного уширения  $\varepsilon'\gamma_r$  на  $\varepsilon'\xi\gamma_r$ .

Оптические свойства квантовой ямы похожи на оптические свойства пластинки с параллельными гранями, помещенной в среду с другим показателем преломления. Действительно, если поглощение мало (например, если несущая частота возбуждающего импульса далека от резонансных частот поглощения), то  $\mathcal{R}$  и  $\mathcal{T}$  описываются формулой (47), которая справедлива для такой пластинки в случае импульсного облучения. Резкое уменьшение отражения в точках  $kd = p\pi$  имеет место и вблизи резонансных частот поглощения.

## Список литературы

- [1] Л.И. Коровин, И.Г. Ланг, Д.А. Контрерас-Солорио, С.Т. Павлов. ФТТ **42**, 2230 (2000); cond-mat 0006364.
- [2] D.A. Contreras-Solorio, S.T. Pavlov, L.I. Korovin, I.G. Lang. Phys. Rev. B **62**, 16 815 (2000); cond-mat 0002229.
- [3] Л.И. Коровин, И.Г. Ланг, Д.А. Контрерас-Солорио, С.Т. Павлов. ФТТ **44**, 1681 (2002); cond-mat 0203390.
- [4] Л.И. Коровин, И.Г. Ланг, С.Т. Павлов. ФТТ **49**, 1893 (2007).
- [5] L.C. Andreani, F. Tassone, F. Bassani. Solid State Commun. **77**, 641 (1991).
- [6] Е.Л. Ивченко. ФТТ **33**, 2388 (1991).
- [7] F. Tassone, F. Bassani, L.C. Andreani. Phys. Rev. B **45**, 6023 (1992).
- [8] T. Stroucken, A. Knorr, P. Thomas, S.W. Koch. Phys. Rev. B **53**, 2026 (1996).
- [9] L.C. Andreani, G. Panzarini, A.V. Kavokin, M.R. Vladimirova. Phys. Rev. B **57**, 4670 (1998).
- [10] S.V. Goupalov, E.L. Ivchenko. J. Cryst. Growth **184/185**, 393 (1998).

- [11] С.В. Гупалов, Е.Л. Ивченко. ФТТ **42**, 1976 (2000).
- [12] Л.И. Коровин, И.Г. Ланг, Д.А. Контрерас-Солорио, С.Т. Павлов. ФТТ **43**, 2091 (2001); cond-mat 0104262.
- [13] И.Г. Ланг, Л.И. Коровин, С.Т. Павлов. ФТТ **48**, 1693 (2006); cond-mat 0403302.
- [14] И.Г. Ланг, Л.И. Коровин, Д.А. Контрерас-Солорио, С.Т. Павлов. ФТТ **44**, 2084 (2002); cond-mat 0001248.
- [15] Л.И. Коровин, И.Г. Ланг, С.Т. Павлов. ФТТ **48**, 2208 (2006); cond-mat 0605650.